

Anhang A

Stationsliste

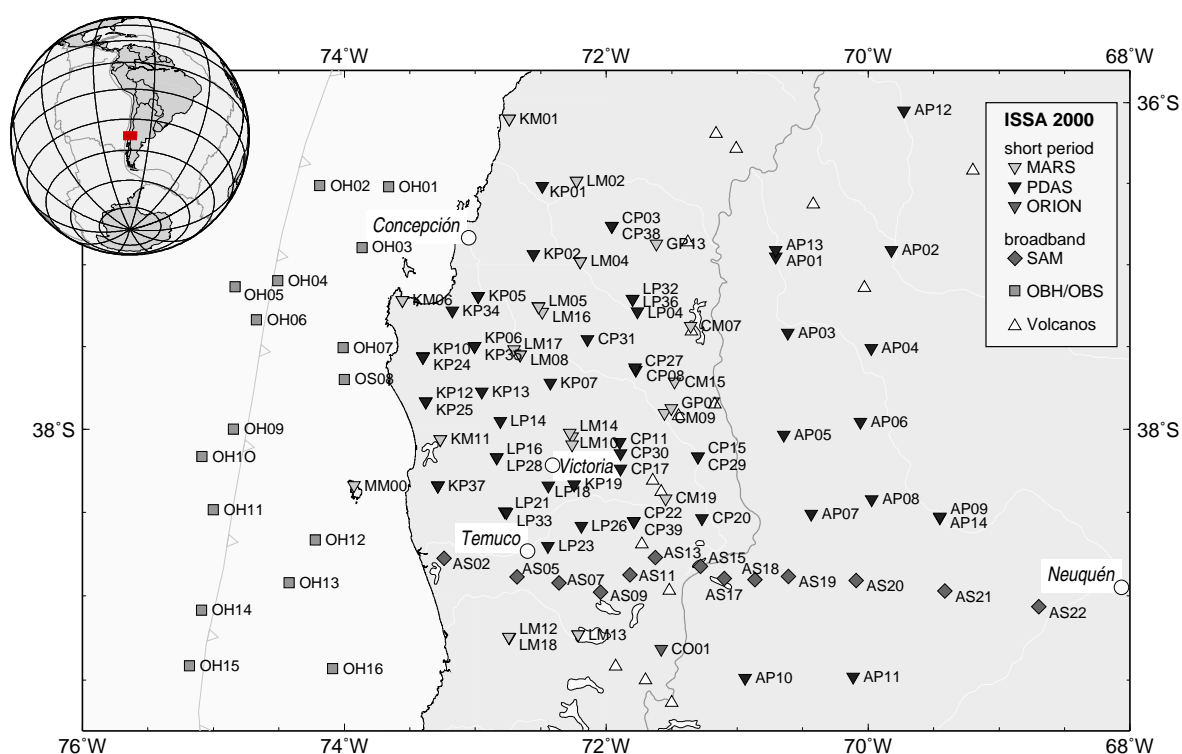


Abbildung A.1: Die seismologischen Stationen des ISSA 2000-Experimentes

Station Name	Latitude [°]	Longitude [°]	Height [m]	Start yymmdd	End yymmdd	Datalogger Type/No.	Sensor Type/No.
AP01	-36.9500	-70.7052	1224	000126	000207	PDAS 395	L4-3D 1343
AP02	-36.9112	-69.8243	1063	000125	000418	PDAS 398	L4-3D 1333
AP03	-37.4153	-70.6139	1221	000126	000418	PDAS 324	L4-3D 1164
AP04	-37.5078	-69.9768	1149	000126	000417	PDAS 338	L4-3D 1177
AP05	-38.0339	-70.6445	1040	000127	000418	PDAS 323	L4-3D 1336
AP06	-37.9569	-70.0599	1124	000127	000418	PDAS 325	L4-3D 1169
AP07	-38.5112	-70.4351	784	000126	000418	PDAS 333	L4-3D 1175
AP08	-38.4229	-69.9734	959	000126	000418	PDAS 332	L4-3D 1172

Fortsetzung auf der nächsten Seite

Station Name	Latitude [°]	Longitude [°]	Height [m]	Start YYMMDD	End YYMMDD	Datalogger Type/No.	Sensor Type/No.
AP09	-38.5309	-69.4521	715	000126	000206	PDAS 396	L4-3D 1340
AP10	-39.4872	-70.9425	847	000127	000416	PDAS 322	L4-3D 1191
AP11	-39.4800	-70.1165	848	000127	000418	PDAS 329	L4-3D 1334
AP12	-36.0493	-69.7259	1380	000205	000418	PDAS 335	L4-3D 1188
AP13	-36.9097	-70.7076	1306	000207	000417	PDAS 395	L4-3D 1333
AP14	-38.5277	-69.4543	715	000206	000307	PDAS 396	L4-3D 1340
AS02	-38.7775	-73.2367	100	990424	011231	SAM 050	3ESP 3696
AS05	-38.8869	-72.6804	90	990425	011231	SAM 715	3ESP 3715
AS07	-38.9246	-72.3617	200	990508	011231	SAM 039	3ESP 3641
AS09	-38.9791	-72.0442	420	990428	011231	SAM 043	3ESP 3693
AS11	-38.8765	-71.8204	450	990427	011231	SAM 060	3ESP 3699
AS13	-38.7717	-71.6253	720	990429	011231	SAM 709	3ESP 3709
AS15	-38.8245	-71.2812	1200	990506	011231	SAM 042	3ESP 3710
AS17	-38.8961	-71.1000	1210	990505	011231	SAM 047	3ESP 3718
AS18	-38.9035	-70.8653	1550	990505	000303	SAM 045	3ESP 3635
AS19	-38.8857	-70.6089	1720	990505	011231	SAM 040	3ESP 3708
AS20	-38.9087	-70.0909	1030	990504	011231	SAM 054	3ESP 3689
AS21	-38.9721	-69.4147	680	990504	011231	SAM 053	3ESP 3704
AS22	-39.0649	-68.6976	330	990504	011231	SAM 038	3ESP 3716
CM07	-37.3727	-71.3568	1426	990901	000415	MARS 011	LE-3D 01
CM09	-37.9020	-71.5571	652	000131	000417	MARS 001	LE-3D 11
CM15	-37.7119	-71.4789	735	000207	000417	MARS 004	LE-3D 04
CM19	-38.4185	-71.5470	1406	000401	000416	MARS 012	LE-3D 12
CO01	-39.3167	-71.5816	663	000125	000416	ORION 180	LE-3D 2252
CP03	-36.7618	-71.9575	272	000131	000213	PDAS 308	L4-3D 1007
CP08	-37.6403	-71.7741	449	000128	000202	PDAS 302	L4-3D 1013
CP11	-38.0774	-71.8975	495	000128	000203	PDAS 386	L4-3D 1195
CP15	-38.1666	-71.3020	1011	000126	000202	PDAS 326	L4-3D 1155
CP17	-38.2392	-71.8911	878	000127	000203	PDAS 328	L4-3D 1158
CP20	-38.5357	-71.2688	1112	000126	000417	PDAS 331	L4-3D 1156
CP22	-38.5552	-71.7904	732	000127	000305	PDAS 399	L4-3D 1121
CP27	-37.6254	-71.7822	443	000202	000417	PDAS 302	L4-3D 1013
CP29	-38.1666	-71.3021	1011	000202	000416	PDAS 326	L4-3D 1155
CP30	-38.1465	-71.8934	598	000203	000416	PDAS 386	L4-3D 1195
CP31	-37.4544	-72.1430	218	000203	000415	PDAS 328	L4-3D 1158
CP38	-36.7620	-71.9590	253	000213	000411	PDAS 308	L4-3D 1007
CP39	-38.5539	-71.7894	732	000305	000417	PDAS 399	L4-3D 1121
GP07	-37.8731	-71.5051	955	990901	000114	MARS 007	LE-3D 05
GP13	-36.8704	-71.6183	826	990901	000114	MARS 013	LE-3D 02
KM01	-36.1002	-72.7421	265	990901	000112	MARS 001	LE-3D 07
				000131	000415	MARS 003	LE-3D 03
KM06	-37.2176	-73.5581	66	000129	000418	MARS 007	LE-3D 07
				990901	000114	MARS 006	LE-3D 13
KM11	-38.0618	-73.2667	554	000127	000417	MARS 002	LE-3D 02
				990901	000114	MARS 004	LE-3D 12
KP01	-36.5167	-72.4905	103	000131	000415	PDAS 305	L4-3D 1016
KP02	-36.9351	-72.5581	142	000129	000416	PDAS 307	L4-3D 1012
KP05	-37.1928	-72.9782	127	000127	000218	PDAS 309	L4-3D 1190
				000220	000418	PDAS 298	"
KP06	-37.4978	-73.0069	616	000126	000207	PDAS 311	L4-3D 1019
KP07	-37.7193	-72.4282	127	000127	000416	PDAS 385	L4-3D 2252
KP10	-37.5571	-73.4009	180	000127	000202	PDAS 298	L4-3D 1183
KP12	-37.8315	-73.3788	169	000127	000202	PDAS 337	L4-3D 1154
KP13	-37.7745	-72.9524	818	000128	000418	PDAS 397	L4-3D 1122

Fortsetzung auf nächster Seite

Station Name	Latitude [°]	Longitude [°]	Height [m]	Start YYMMDD	End YYMMDD	Datalogger Type/No.	Sensor Type/No.
KP19	-38.3336	-72.2451	391	000125	000211	PDAS 330	L4-3D 1017
KP24	-37.5617	-73.3989	230	000202	000218	PDAS 298	L4-3D 1183
				000220	000418	PDAS 309	"
KP25	-37.8355	-73.3792	156	000202	000418	PDAS 337	L4-3D 1154
KP34	-37.2816	-72.1765	215	000206	000413	PDAS 310	L4-3D 1378
KP35	-37.4975	-73.0066	616	000207	000418	PDAS 311	L4-3D 1019
KP37	-38.3402	-73.2855	190	000211	000312	PDAS 330	L4-3D 1017
				000312	000315	"	L4-3D 1196
				000315	000417	"	L4-3D 1017
LM02	-36.4838	-72.2273	115	990901	000114	MARS 008	LE-3D 04
				000131	000415	MARS 005	LE-3D 05
LM04	-36.9794	-72.1993	146	990901	000113	MARS 002	LE-3D 11
				000131	000416	MARS 006	LE-3D 06
LM05	-37.2542	-72.5187	72	000126	000204	MARS 009	LE-3D 09
				990901	000114	"	"
LM08	-37.5487	-72.6586	83	000126	000204	MARS 008	LE-3D 08
				990901	000115	MARS 005	LE-3D 06
LM10	-38.0431	-72.2605	390	000126	000203	MARS 012	LE-3D 12
				990901	000115	MARS 003	LE-3D 03
LM12	-39.2456	-72.7412	309	990901	000115	MARS 010	LE-3D 10
				000125	000213	MARS 013	LE-3D 13
LM13	-39.2309	-72.2152	303	990901	000115	MARS 012	LE-3D 08
				000125	000206	MARS 004	LE-3D 04
LM14	-38.0223	-72.2800	358	000203	000330	MARS 012	LE-3D 12
LM16	-37.2880	-72.4904	89	000204	000415	MARS 009	LE-3D 09
LM17	-37.5160	-72.7054	74	000204	000418	MARS 008	LE-3D 08
LM18	-39.2429	-72.7449	305	000213	000416	MARS 013	LE-3D 13
LP04	-37.2864	-71.7636	482	000128	000204	PDAS 406	L4-3D 1157
LP14	-37.9504	-72.8096	130	000125	000417	PDAS 304	L4-3D 1184
LP16	-38.1706	-72.8371	276	000124	000202	PDAS 312	L4-3D 1020
LP18	-38.3415	-72.4434	273	000125	000417	PDAS 303	L4-3D 1010
LP21	-38.4964	-72.7747	135	000125	000204	PDAS 297	L4-3D 1011
LP23	-38.7039	-72.4450	156	000125	000202	PDAS 306	L4-3D 1185
LP26	-38.5828	-72.1906	271	000202	000417	PDAS 306	L4-3D 1185
LP28	-38.1705	-72.8365	276	000202	000417	PDAS 312	L4-3D 1020
LP32	-37.2095	-71.8004	696	000204	000208	PDAS 406	L4-3D 1157
LP33	-38.4995	-72.7635	88	000205	000402	PDAS 297	L4-3D 1011
LP36	-37.2079	-71.8002	699	000208	000415	PDAS 406	L4-3D 1157
MM00	-38.3391	-73.9258	107	000128	000407	MARS 010	LE-3D 10
OH01	-36.5214	-73.6618	-675	000115	000220	OBH 01	H 01
OH02	-36.5136	-74.1872	-3648	000115	000220	OBH 02	H 02
OH03	-36.8941	-73.8651	-1127	000115	000220	OBH 03	H 03
OH04	-37.0981	-74.5093	-3971	000116	000220	OBH 04	H 04
OH05	-37.1332	-74.8342	-4740	000116	000220	OBH 05	H 05
OH06	-37.3371	-74.6696	-4753	000116	000220	OBH 06	H 06
OH07	-37.5054	-74.0095	-1446	000116	000220	OBH 07	H 07
OH09	-37.9993	-74.8463	-4642	000118	000220	OBH 09	H 09
OH10	-38.1648	-75.0867	-4609	000118	000220	OBH 10	H 10
OH11	-38.4850	-75.0002	-4542	000118	000220	OBH 11	H 11
OH12	-38.6661	-74.2220	-1594	000118	000220	OBH 12	H 12
OH13	-38.9206	-74.4225	-2351	000118	000220	OBH 13	H 13
OH14	-39.0852	-75.0911	-4344	000119	000220	OBH 14	H 14
OH15	-39.4154	-75.1842	-4285	000119	000220	OBH 15	H 15
OH16	-39.4327	-74.0885	-931	000119	000220	OBH 16	H 16
OS08	-37.6984	-73.9988	-1241	000117	000220	OBS 08	S 08

Tabelle A.1: Liste der seismologischen Stationen des Experimentes ISSA 2000

Anhang B

Erdbebenkatalog

Origin Time			Latitude	Longitude	Depth	GAP	Residuum
yymmdd	hhmm	ss.ss	[°]	[°]	[km]	[°]	[s]
991115	0401	44.72	-38.1710	-72.5438	63.48	71	0.14
991116	1644	53.62	-36.9465	-73.4692	11.28	201	0.26
991117	0205	41.37	-36.9601	-73.4476	8.28	195	0.27
991117	0622	46.54	-36.9504	-73.4550	8.37	198	0.10
991117	0758	41.05	-36.9774	-73.4733	15.66	199	0.17
991117	0921	58.99	-36.9476	-73.4626	8.64	199	0.21
991118	0208	06.05	-39.0104	-73.5289	27.04	261	0.26
991118	1830	34.18	-37.0230	-72.6432	19.85	99	0.15
991118	2007	32.43	-36.9514	-73.4604	12.21	199	0.19
991118	2127	30.08	-36.9527	-73.4531	9.38	198	0.09
991118	2144	37.71	-36.9419	-73.4655	8.38	232	0.12
991119	0414	03.48	-36.9879	-72.6971	20.40	106	0.08
991120	2325	11.04	-37.2987	-71.5341	126.50	127	0.46
991121	0502	26.61	-37.7899	-73.2150	29.76	185	0.24
991121	0511	39.47	-36.3619	-72.9881	17.72	211	0.14
991121	0614	16.75	-36.9644	-73.4634	10.01	222	0.32
991121	1236	26.54	-36.6617	-72.5243	71.27	140	0.26
991122	1646	10.56	-37.0387	-71.7113	8.11	116	0.25
991122	2325	16.43	-36.9414	-73.4667	8.18	223	0.22
991123	0449	53.49	-36.4894	-73.0389	16.68	183	0.10
991123	1310	16.96	-36.9407	-73.4619	8.34	232	0.12
991124	0343	59.91	-38.9537	-72.8173	59.24	129	0.23
991124	0611	26.15	-37.1869	-71.8863	90.20	84	0.12
991124	0841	05.68	-39.2094	-72.2101	100.04	116	0.28
991125	0421	22.31	-38.4867	-72.9959	60.02	120	0.18
991126	1227	54.93	-37.5782	-71.9913	95.98	126	0.08
991127	1943	03.85	-36.3232	-71.5757	110.92	260	0.14
991128	2150	16.30	-37.4266	-72.3413	58.88	76	0.13
991129	0422	11.13	-36.5338	-73.2276	32.73	202	0.22
991129	1307	10.17	-36.6542	-72.3167	63.42	89	0.19
991130	0008	59.11	-37.0378	-72.2826	60.02	145	0.05
991203	1228	13.56	-36.5309	-73.2384	28.66	248	0.09
991203	1448	18.39	-38.3066	-73.1944	43.66	161	0.24
991204	1750	58.55	-37.8660	-72.3750	75.33	70	0.33

Fortsetzung auf nächster Seite

Origin Time			Latitude	Longitude	Depth	GAP	Residuum
yymmdd	hhmm	ss.ss	[°]	[°]	[km]	[°]	[s]
991207	0740	41.02	-37.9177	-74.1677	29.05	262	0.19
991208	0029	43.58	-36.9417	-73.4529	8.56	222	0.30
991209	0654	22.09	-36.3470	-72.3633	61.59	183	0.13
991209	0658	13.63	-36.3561	-72.3778	62.18	180	0.13
991209	1158	22.72	-38.2066	-70.6416	189.19	160	0.32
991209	1256	02.38	-37.6638	-72.3074	66.54	121	0.20
991209	2341	55.53	-37.2737	-71.7258	113.08	97	0.15
991213	0820	13.13	-36.8336	-71.2797	4.32	244	0.17
991220	0909	44.38	-37.4204	-71.0004	154.49	211	0.31
991220	2350	24.54	-36.9283	-73.4811	11.16	225	0.28
991221	0434	01.18	-36.9652	-73.4463	8.15	220	0.38
991221	0843	08.52	-36.9522	-73.4568	5.33	222	0.36
991221	2310	15.62	-37.0723	-73.4708	26.62	220	0.20
991222	1958	37.14	-36.4362	-70.2955	176.67	267	0.26
991223	0614	24.32	-36.9481	-73.4929	10.51	224	0.27
991223	1841	19.54	-37.2351	-72.9049	42.94	198	0.22
991224	0131	44.73	-37.6360	-72.0230	97.65	59	0.30
991224	0505	18.77	-37.0245	-72.6365	24.04	149	0.07
991224	0826	02.77	-36.9644	-73.4551	16.83	222	0.14
991225	0953	50.86	-36.9486	-73.4277	15.11	220	0.28
991225	2058	37.49	-36.9753	-73.4492	5.19	221	0.29
991226	1830	16.78	-37.7094	-72.1502	85.53	252	0.21
991228	0644	39.71	-38.3231	-72.3631	74.15	87	0.48
991228	1801	36.79	-38.4660	-72.5373	66.91	110	0.23
991231	0144	49.93	-37.2773	-71.8809	91.98	143	0.07
000101	0554	00.08	-38.3840	-72.6789	13.72	122	0.23
000102	1542	25.21	-38.5590	-72.0692	95.09	100	0.44
000103	0713	23.99	-37.5978	-71.9410	99.10	60	0.57
000106	0855	17.63	-36.6433	-72.7999	43.45	192	0.14
000109	0733	58.00	-37.4443	-72.0765	89.20	51	0.23
000110	1539	26.04	-36.3186	-72.3355	62.79	191	0.10
000112	0111	18.82	-38.5207	-72.1393	76.71	107	0.19
000129	0017	28.64	-38.4933	-72.4690	62.52	49	0.25
000130	0103	09.40	-37.1883	-71.9584	81.39	175	0.19
000130	1434	07.08	-38.9620	-72.7509	32.15	116	0.15
000131	1344	21.65	-37.5859	-72.2251	83.42	74	0.34
000202	0615	38.15	-36.2776	-71.8177	90.66	256	0.46
000202	1736	55.32	-36.8232	-72.9923	2.83	147	0.20
000203	0824	51.22	-36.8967	-72.1358	65.54	89	0.14
000203	1754	25.10	-37.7368	-71.7578	92.44	157	0.30
000204	0016	55.58	-36.8470	-73.1456	32.53	162	0.18
000204	0502	26.59	-37.8583	-73.6243	20.81	265	0.13
000204	1639	07.22	-38.1347	-73.2127	27.21	210	0.21
000205	0205	36.71	-38.6317	-73.1507	30.80	146	0.11
000205	0945	04.26	-36.3027	-72.9254	28.26	188	0.27
000205	1125	34.25	-37.3655	-71.8519	91.98	60	0.19
000205	1244	25.17	-37.6278	-73.5848	17.19	213	0.16
000205	1357	17.81	-37.5567	-71.9608	91.28	119	0.12
000205	1744	12.66	-36.8400	-72.7296	50.35	183	0.17
000206	0407	34.11	-38.3502	-71.5977	6.57	83	0.31
000206	1957	24.68	-38.1181	-72.5799	54.00	55	0.19
000206	2028	50.63	-38.3782	-73.7023	26.74	143	0.36
000207	0200	42.35	-36.9087	-73.2788	12.45	172	0.25
000207	0306	06.54	-37.8125	-73.1947	30.71	101	0.19

Fortsetzung auf nächster Seite

Origin Time			Latitude	Longitude	Depth	GAP	Residuum
yymmdd	hhmm	ss.ss	[°]	[°]	[km]	[°]	[s]
000207	0721	45.05	-37.0222	-73.4022	17.65	261	0.23
000207	0937	28.46	-36.6948	-73.6873	32.19	243	0.26
000207	1454	28.02	-36.7283	-73.6732	34.87	241	0.17
000207	1523	25.05	-36.9805	-72.9807	26.87	168	0.24
000207	1741	07.68	-38.1722	-73.9620	16.81	258	0.32
000207	2017	48.14	-37.8902	-72.4263	60.49	126	0.07
000207	2110	53.98	-37.0337	-72.7044	36.06	124	0.12
000207	2250	33.48	-37.8178	-73.2667	26.21	80	0.26
000208	0034	12.98	-37.0237	-72.6973	36.79	124	0.18
000208	0126	58.19	-37.1945	-72.8065	47.81	110	0.10
000208	0706	59.39	-37.6608	-73.4687	19.93	233	0.27
000208	0707	49.01	-37.6692	-73.5032	22.90	239	0.31
000208	0816	30.64	-37.8319	-73.6658	19.05	167	0.23
000208	1013	20.75	-36.6872	-73.7560	33.56	251	0.34
000208	1901	25.60	-36.6743	-72.9575	2.31	231	0.22
000208	2324	03.57	-37.7232	-72.9078	45.81	81	0.21
000209	0630	09.96	-36.4088	-72.6702	31.46	179	0.31
000209	0829	49.48	-36.7172	-72.0967	83.17	222	0.18
000209	1146	13.77	-37.5275	-72.2535	83.11	78	0.23
000210	0207	42.84	-38.3937	-73.4637	25.75	212	0.31
000210	0646	32.63	-37.8182	-73.6353	22.85	264	0.23
000210	0714	56.66	-36.3464	-72.9021	19.94	227	0.16
000210	2344	58.36	-36.7282	-72.5885	55.46	160	0.12
000211	0139	52.25	-38.0940	-73.3328	27.07	220	0.17
000211	1348	02.48	-38.3165	-72.2332	90.64	85	0.23
000211	1540	09.52	-37.7987	-73.1858	33.62	104	0.12
000212	0143	21.36	-37.1067	-73.3758	20.29	183	0.30
000212	0446	23.53	-36.8753	-72.9810	25.39	174	0.31
000212	0502	42.35	-37.1697	-73.7182	19.38	258	0.27
000212	0737	19.73	-37.8142	-73.2383	20.57	106	0.23
000212	1007	58.63	-36.9712	-72.2890	54.60	91	0.29
000212	1528	47.06	-37.1863	-72.0192	92.58	142	0.15
000213	0229	33.22	-36.6352	-72.6670	57.27	142	0.12
000213	0503	49.66	-36.0285	-72.4843	14.30	264	0.17
000213	0504	07.54	-37.9767	-73.6033	19.11	217	0.19
000213	1239	31.67	-36.6950	-72.0730	64.32	187	0.21
000213	1526	56.03	-36.7760	-73.4073	17.12	203	0.26
000214	0210	21.80	-37.1523	-73.0183	18.38	132	0.27
000214	0414	02.56	-36.6863	-72.1015	73.20	150	0.20
000214	0428	59.60	-37.8372	-73.8313	16.85	240	0.26
000214	0728	39.66	-36.4425	-73.0373	15.59	187	0.35
000215	0143	31.83	-37.7528	-73.3808	8.10	211	0.30
000215	0416	46.57	-37.8697	-73.4370	12.73	186	0.25
000215	0837	32.41	-36.5617	-72.5510	38.94	253	0.14
000216	0410	40.21	-37.2200	-72.0772	73.13	228	0.04
000216	0712	42.97	-37.7629	-72.1969	71.40	33	0.38
000216	0908	31.42	-37.8133	-71.8573	73.63	211	0.13
000217	0414	32.18	-36.9460	-73.4632	18.70	229	0.34
000217	0743	12.70	-36.7960	-72.1777	73.24	107	0.26
000217	0930	34.84	-37.2981	-73.6122	30.86	227	0.32
000217	1215	49.04	-38.6413	-73.3803	21.15	220	0.22
000218	0936	17.07	-37.3103	-72.4217	59.07	57	0.18
000218	2151	48.29	-37.8168	-73.2017	30.06	123	0.21
000219	0443	06.28	-37.9318	-73.4235	6.52	244	0.12

Fortsetzung auf nächster Seite

Origin Time			Latitude	Longitude	Depth	GAP	Residuum
yymmdd	hhmm	ss.ss	[°]	[°]	[km]	[°]	[s]
000220	0206	29.81	-36.4167	-73.0903	24.18	197	0.28
000220	0710	18.13	-37.1368	-71.9440	98.09	141	0.16
000220	0715	28.54	-38.0185	-71.6902	8.40	45	0.27
000220	0716	49.00	-38.0200	-71.6802	8.54	48	0.29
000220	1423	18.94	-39.3026	-71.8404	115.81	169	0.24
000220	1803	20.93	-36.9043	-72.4741	63.40	99	0.13
000220	1933	30.67	-36.7972	-73.5231	27.02	219	0.20
000220	1941	14.48	-37.7778	-73.2040	31.90	130	0.14
000221	0327	01.25	-37.5839	-72.7026	71.30	32	0.41
000221	1456	22.90	-36.6897	-73.1162	6.01	173	0.20
000221	1541	23.09	-36.9308	-73.4498	16.91	198	0.30
000221	1749	15.84	-38.2289	-72.4412	61.20	43	0.11
000222	0324	24.27	-36.7733	-73.4922	30.34	215	0.16
000222	0540	50.20	-36.7505	-73.5138	24.08	219	0.24
000222	0823	18.39	-36.7972	-73.5045	18.04	216	0.29
000223	0209	20.55	-36.9292	-73.4611	19.13	246	0.36
000223	0916	23.91	-39.8179	-71.6035	147.92	228	0.36
000223	1004	04.56	-38.7924	-72.6925	56.96	87	0.34
000223	1510	09.27	-36.9777	-71.7432	19.84	124	0.23
000223	1752	52.01	-38.0372	-73.1483	33.78	63	0.18
000223	2149	09.20	-37.6026	-72.3041	62.02	48	0.36
000224	0441	49.64	-37.2388	-71.3783	5.13	101	0.21
000224	0509	42.51	-37.8279	-73.4058	25.33	130	0.14
000224	0640	00.55	-37.8257	-73.3968	23.75	203	0.23
000224	0746	29.57	-36.7020	-73.1938	33.38	242	0.23
000224	1141	39.67	-37.8137	-73.2725	28.56	83	0.25
000225	0146	31.23	-37.0912	-72.6629	39.35	96	0.10
000225	0357	54.12	-38.2843	-73.2990	16.77	182	0.23
000225	0514	15.58	-39.2129	-73.2737	18.00	260	0.32
000225	0818	08.22	-35.6067	-71.4736	112.29	264	0.49
000225	2048	00.04	-37.2088	-72.4158	4.35	68	0.19
000226	0258	51.84	-37.8505	-73.4430	11.50	186	0.23
000226	0310	21.32	-37.9002	-73.5452	22.67	195	0.25
000226	0336	29.48	-37.9792	-73.5077	18.90	192	0.28
000226	0433	20.87	-37.8982	-73.5125	19.97	191	0.20
000226	0556	38.09	-37.0952	-71.9858	85.26	145	0.18
000227	0118	21.76	-37.1530	-72.8625	46.22	138	0.12
000227	0211	50.28	-36.3461	-73.0128	15.98	209	0.39
000228	0258	52.50	-37.3389	-72.2946	64.90	60	0.10
000228	0337	22.71	-38.3163	-73.4113	26.85	198	0.07
000228	0530	59.02	-37.8078	-73.2820	27.20	119	0.26
000228	0737	38.91	-36.9614	-72.7785	38.07	141	0.12
000228	1017	10.47	-37.7576	-71.8614	92.36	62	0.31
000228	1203	34.44	-37.0072	-72.1699	63.82	126	0.11
000228	1950	00.26	-38.2961	-72.4912	66.75	35	0.25
000229	0210	02.85	-37.5072	-72.0439	88.98	87	0.16
000229	0954	01.84	-37.8019	-72.7453	50.38	48	0.16
000301	0244	36.06	-36.0936	-71.9374	77.02	264	0.16
000301	0250	20.68	-38.0075	-73.3349	25.51	174	0.02
000301	1240	33.69	-38.2343	-72.5960	61.54	85	0.21
000301	1320	11.91	-36.4402	-70.8450	123.92	242	0.16
000301	1937	55.88	-35.8347	-71.9271	100.11	244	0.29
000301	2303	09.34	-39.0109	-71.6011	131.91	97	0.27
000302	0058	28.78	-36.4708	-72.7311	48.19	155	0.14

Fortsetzung auf nächster Seite

Origin Time			Latitude	Longitude	Depth	GAP	Residuum
yymmdd	hhmm	ss.ss	[°]	[°]	[km]	[°]	[s]
000302	1256	14.99	-38.2628	-69.2573	-0.85	227	0.17
000302	1336	33.99	-38.2609	-69.2946	-0.95	224	0.27
000302	1424	36.43	-36.5566	-72.4190	46.93	95	0.18
000302	1732	49.08	-37.4782	-72.2002	69.83	130	0.11
000303	0506	39.19	-37.2410	-72.9655	43.63	91	0.14
000303	0849	39.47	-38.5996	-72.8254	19.56	236	0.19
000303	1602	39.51	-38.0157	-73.5469	24.41	160	0.13
000303	1758	06.83	-38.7423	-72.8436	53.89	152	0.05
000303	2020	38.94	-36.1529	-73.0436	37.13	238	0.33
000304	0101	25.73	-37.7767	-72.9354	64.24	131	0.12
000304	0333	23.09	-37.8395	-72.9676	60.65	222	0.08
000304	0442	28.07	-37.6714	-71.8738	97.70	173	0.18
000304	0623	09.82	-36.6129	-73.2680	17.49	235	0.07
000304	0809	34.60	-35.7262	-70.4768	146.36	221	0.17
000304	1109	49.46	-36.6236	-73.2741	20.37	234	0.13
000304	1517	23.65	-37.5673	-71.7652	107.67	173	0.30
000304	1608	31.96	-37.2016	-71.3413	118.30	151	0.32
000304	1724	02.86	-36.2853	-72.6010	30.68	169	0.22
000304	1750	47.37	-37.9849	-72.9028	0.48	70	0.38
000305	0816	30.12	-37.1016	-72.1936	64.18	80	0.15
000305	1029	08.12	-36.0097	-72.1671	67.77	230	0.28
000305	1235	00.08	-37.9903	-73.3092	27.18	111	0.17
000305	1443	01.56	-38.2585	-69.2583	-0.85	227	0.46
000305	1932	42.63	-38.4959	-72.3023	69.13	111	0.13
000305	2056	43.32	-36.9093	-72.3615	62.38	105	0.22
000306	0504	27.40	-37.0849	-73.3896	20.86	214	0.12
000306	1907	15.49	-36.9673	-73.5942	13.71	250	0.07
000307	0057	36.50	-37.8050	-73.4329	15.49	213	0.16
000307	0117	18.95	-37.6590	-73.0964	5.58	93	0.18
000307	0942	13.89	-36.9908	-73.5056	16.41	257	0.06
000307	1257	03.41	-37.8253	-73.4505	16.64	241	0.07
000307	2034	13.47	-37.2258	-72.4039	3.67	77	0.08
000308	0147	11.50	-36.6357	-73.0847	35.23	175	0.13
000308	0228	04.40	-37.4888	-71.3799	125.72	168	0.32
000308	0313	16.23	-36.9516	-72.2456	61.33	124	0.12
000308	0331	15.71	-36.4377	-72.7607	28.26	162	0.21
000308	0448	23.06	-37.2623	-71.8266	96.37	117	0.22
000308	0513	00.28	-38.2542	-69.2944	-0.85	244	0.25
000308	0637	37.87	-36.4499	-72.4886	59.01	143	0.19
000308	0835	45.23	-36.9204	-73.4491	7.35	228	0.18
000308	1140	12.70	-38.8683	-70.1953	-0.85	95	0.30
000308	1316	14.30	-37.9003	-73.4391	5.61	236	0.17
000308	1352	51.08	-36.9200	-73.4947	16.01	235	0.08
000308	1648	07.20	-36.4371	-70.7600	139.63	244	0.11
000308	1650	54.19	-36.1433	-72.8127	25.68	245	0.14
000308	1726	35.51	-37.0793	-72.3293	57.81	61	0.14
000308	1924	52.66	-37.8969	-73.4395	8.64	233	0.16
000308	1951	41.97	-36.6104	-72.9939	35.75	166	0.19
000309	0106	57.10	-37.0184	-72.6816	46.50	144	0.17
000309	0441	50.75	-37.3729	-71.8358	102.87	223	0.14
000309	0448	23.62	-37.9059	-73.4326	6.63	251	0.13
000309	0651	27.13	-37.0162	-72.7500	18.61	158	0.03
000309	0804	54.51	-37.8979	-73.4277	5.83	234	0.11
000309	1151	34.97	-36.4891	-72.6220	56.41	171	0.16

Fortsetzung auf nächster Seite

Origin Time			Latitude	Longitude	Depth	GAP	Residuum
yymmdd	hhmm	ss.ss	[°]	[°]	[km]	[°]	[s]
000309	1158	53.90	-37.0419	-71.9781	89.37	258	0.10
000309	1522	28.14	-36.9419	-72.3392	59.11	98	0.13
000309	1529	27.46	-36.3429	-72.9841	33.49	249	0.13
000309	1929	57.27	-37.2467	-72.4355	15.23	130	0.19
000309	2358	35.16	-37.8713	-73.9758	16.11	212	0.45
000310	0144	55.72	-37.6672	-71.5317	118.66	96	0.27
000310	0630	54.01	-37.8229	-70.5915	177.28	63	0.28
000310	0647	13.11	-37.3550	-72.1987	81.54	140	0.08
000310	0736	30.98	-36.3157	-72.9215	23.69	239	0.13
000310	0752	23.64	-37.4847	-71.5264	120.05	235	0.18
000310	0821	19.38	-37.1244	-72.4220	56.17	68	0.11
000310	1016	00.30	-36.9039	-72.3070	56.85	123	0.17
000310	1151	18.36	-37.7965	-72.3517	64.03	97	0.14
000310	1502	46.69	-37.0245	-72.2832	60.40	73	0.05
000310	2005	23.16	-37.9643	-73.5406	19.43	261	0.07
000311	0248	03.24	-37.4365	-73.6372	29.41	223	0.15
000311	0324	08.58	-35.6766	-70.5707	144.05	238	0.37
000311	0555	06.33	-36.3058	-72.9000	26.55	235	0.15
000311	0615	08.33	-37.0116	-72.9034	37.76	146	0.20
000311	0637	29.40	-36.6981	-71.7169	19.35	250	0.08
000311	0717	33.03	-37.9199	-73.4623	7.19	206	0.13
000311	0725	02.01	-37.4230	-72.1096	89.97	55	0.25
000311	0826	47.32	-38.1274	-71.5222	108.86	90	0.14
000311	1437	47.60	-37.7033	-73.4605	17.85	222	0.11
000311	1725	19.71	-36.9609	-70.9532	138.77	113	0.30
000311	1728	47.26	-38.1919	-73.7436	20.36	176	0.08
000311	2207	26.77	-37.8839	-73.0289	23.84	115	0.06
000312	0135	32.02	-37.9578	-72.0165	11.61	90	0.20
000312	0256	36.50	-36.9171	-73.3112	20.78	207	0.18
000312	0430	29.43	-37.9503	-72.5435	63.15	43	0.39
000312	0818	25.44	-37.4187	-71.6979	112.79	175	0.17
000312	0919	11.27	-37.9701	-73.5165	19.30	245	0.08
000312	0940	19.62	-38.3469	-73.4661	27.44	232	0.03
000312	1009	23.01	-37.8718	-73.1596	8.93	122	0.06
000312	2243	39.51	-36.7881	-72.6558	55.62	185	0.15
000312	2322	26.80	-39.4067	-71.8707	3.09	224	0.12
000313	0113	59.59	-38.5841	-72.7321	37.54	127	0.19
000313	0115	18.95	-38.1567	-72.7422	51.57	111	0.26
000313	0809	12.52	-36.4226	-70.1927	173.85	139	0.32
000313	1209	58.95	-36.3816	-71.9408	73.23	222	0.23
000313	1324	20.38	-37.6255	-73.3330	11.93	131	0.11
000313	1637	09.55	-37.6362	-72.3343	55.71	171	0.15
000313	1721	00.04	-36.9390	-72.2946	58.72	111	0.10
000313	2225	48.00	-37.4762	-72.2275	81.07	111	0.05
000313	2303	49.77	-37.9692	-73.5522	19.33	196	0.07
000314	0241	50.86	-36.6597	-72.7102	48.50	246	0.08
000314	0331	12.90	-37.9526	-73.5656	21.33	144	0.37
000314	0523	01.78	-37.4267	-73.1647	29.21	122	0.08
000314	1005	22.04	-38.2435	-72.0802	76.97	87	0.43
000314	1540	29.25	-36.7681	-71.7464	16.81	239	0.10
000314	1634	13.33	-36.8725	-73.4432	16.60	231	0.16
000314	1649	38.11	-36.9537	-71.9827	83.40	174	0.14
000315	0337	24.76	-38.7745	-73.8312	28.93	230	0.21
000315	0809	04.30	-37.0000	-73.9525	15.08	245	0.22

Fortsetzung auf nächster Seite

Origin Time			Latitude	Longitude	Depth	GAP	Residuum
yymmdd	hhmm	ss.ss	[°]	[°]	[km]	[°]	[s]
000315	1039	07.76	-38.2315	-72.3296	61.64	133	0.26
000316	2348	37.23	-36.7975	-71.3412	4.64	181	0.27
000316	2352	29.93	-36.7958	-71.3477	4.45	181	0.30
000317	0023	22.75	-36.7882	-71.3478	5.46	154	0.29
000317	0210	25.76	-37.4902	-72.6479	59.53	75	0.37
000317	0316	59.53	-37.9988	-73.5813	21.07	233	0.25
000317	2046	18.30	-36.8333	-72.9875	13.67	145	0.15
000318	0726	57.99	-36.9547	-73.4460	16.21	195	0.27
000318	1023	52.07	-36.9237	-73.4190	16.34	221	0.33
000318	1300	23.99	-36.2171	-73.5019	35.27	259	0.11
000318	1642	39.33	-38.0025	-73.5742	17.86	164	0.28
000318	2201	28.83	-37.9783	-73.6220	20.56	243	0.15
000318	2235	27.03	-37.6357	-73.4388	17.47	175	0.27
000319	0143	46.37	-37.9495	-73.6427	18.07	179	0.23
000319	0503	06.21	-37.8278	-73.4368	14.52	240	0.14
000319	2346	08.37	-36.4864	-73.2931	27.72	214	0.20
000319	2347	11.09	-37.7955	-74.2860	39.63	253	0.21
000320	0158	07.91	-36.7460	-73.4221	3.34	208	0.26
000320	0853	21.12	-38.2424	-72.8438	42.19	103	0.03
000320	1042	07.01	-36.8023	-72.2235	70.23	81	0.28
000320	1948	02.49	-37.7767	-73.3842	25.47	129	0.10
000321	0115	54.78	-37.9662	-72.0305	13.68	48	0.26
000321	0419	41.92	-37.9077	-73.4420	10.73	223	0.17
000321	1005	08.84	-37.9670	-73.7585	30.97	219	0.26
000321	2102	02.21	-38.0133	-73.5028	23.79	237	0.14
000322	0037	13.95	-36.4643	-72.0896	73.64	178	0.26
000322	0352	48.83	-37.0080	-73.0508	29.40	160	0.22
000322	0517	15.50	-36.5183	-72.5550	29.46	236	0.09
000322	0838	03.37	-36.4281	-73.1666	24.62	205	0.21
000322	1042	44.32	-37.8372	-73.4655	23.01	243	0.19
000322	1222	27.93	-37.1634	-71.7466	101.24	254	0.14
000322	2232	44.95	-36.8450	-72.9700	16.65	142	0.12
000323	0032	05.39	-37.7603	-72.0547	87.42	196	0.13
000323	0612	16.28	-37.0766	-71.9022	91.60	173	0.10
000323	0650	13.36	-38.0230	-73.5178	21.63	230	0.15
000323	1022	53.48	-37.9938	-72.4458	61.62	107	0.15
000323	1025	19.89	-37.8485	-73.6233	20.55	213	0.19
000323	1525	33.48	-36.8598	-73.1093	26.88	156	0.28
000323	1526	09.71	-36.9215	-73.4645	16.67	201	0.29
000323	1541	27.24	-36.9180	-73.4510	17.26	199	0.26
000323	1551	37.11	-36.9317	-73.3857	17.53	262	0.24
000323	1555	15.46	-36.8362	-73.4397	18.98	204	0.14
000323	1612	25.56	-36.9283	-73.4724	11.08	203	0.20
000323	1625	26.95	-36.9135	-73.4645	17.30	229	0.29
000323	1750	26.44	-36.9220	-73.3817	19.19	215	0.25
000323	2108	01.44	-36.9363	-73.4533	17.27	198	0.32
000324	0009	16.97	-36.8642	-73.1118	30.58	156	0.22
000324	0404	37.25	-38.9381	-72.5601	60.71	88	0.10
000324	0649	16.16	-36.9378	-73.4390	15.95	222	0.30
000324	1021	59.76	-37.6895	-73.2375	27.73	149	0.19
000324	2205	32.62	-36.5258	-72.0155	92.64	130	0.24
000324	2343	38.32	-37.9508	-73.6485	19.36	156	0.13
000325	0028	08.59	-37.2517	-71.6690	97.58	133	0.14
000325	0232	44.60	-36.9345	-73.4003	18.42	214	0.23

Fortsetzung auf nächster Seite

Origin Time			Latitude	Longitude	Depth	GAP	Residuum
yymmdd	hhmm	ss.ss	[°]	[°]	[km]	[°]	[s]
000325	2023	20.79	-38.2261	-74.3154	16.09	268	0.38
000325	2050	30.87	-36.9818	-73.4435	17.98	217	0.25
000326	0214	44.60	-36.0325	-72.4898	16.78	263	0.29
000326	0321	38.08	-36.8470	-72.7281	52.79	171	0.16
000326	0429	35.19	-37.9825	-73.5540	21.65	234	0.16
000326	0434	03.95	-38.1358	-71.8907	91.16	33	0.21
000326	0602	15.51	-36.9352	-73.4330	17.01	194	0.24
000326	1611	23.36	-35.6337	-71.3710	104.66	243	0.17
000327	1835	50.85	-38.1655	-74.0573	13.16	234	0.11
000327	2125	00.44	-36.4175	-72.5683	19.44	128	0.23
000329	0651	04.61	-38.0501	-73.8012	16.38	224	0.23
000329	0655	01.44	-37.9283	-73.4320	9.96	220	0.21
000329	0743	19.09	-36.9818	-73.4468	18.09	222	0.23
000329	1617	41.43	-36.2945	-71.8961	73.56	234	0.17
000330	0109	37.17	-37.9863	-73.4056	31.66	196	0.34
000330	0342	59.19	-37.9338	-73.4132	4.53	237	0.21
000330	0742	41.18	-36.9418	-73.4776	16.20	230	0.20
000330	1914	28.55	-36.4582	-73.0772	17.87	212	0.18
000331	0529	33.74	-38.1778	-73.4373	26.14	188	0.19
000331	0916	40.47	-37.8945	-73.4548	9.51	204	0.12
000331	1148	19.79	-36.9798	-71.7595	18.95	153	0.35
000401	0617	20.15	-37.9645	-72.0538	13.17	61	0.28
000401	0703	28.85	-36.6448	-72.9878	26.79	180	0.29
000401	1059	12.16	-36.3677	-72.6532	25.54	147	0.29
000401	1438	24.61	-37.6475	-73.4598	20.06	188	0.30
000402	0139	42.08	-36.6055	-72.9723	41.82	199	0.06
000402	0209	25.28	-36.6373	-73.0698	18.81	172	0.33
000402	0237	56.56	-37.8750	-73.7487	18.97	257	0.22
000402	0820	10.89	-36.9653	-73.4547	17.92	195	0.24
000402	1147	46.21	-36.6703	-72.5159	53.15	182	0.10
000402	2300	08.04	-37.8025	-72.9124	65.23	56	0.24
000403	0044	27.21	-37.0056	-72.0863	69.81	145	0.10
000403	2036	24.40	-36.3289	-72.9701	31.65	241	0.16
000404	0328	42.00	-37.9150	-73.3808	13.31	188	0.21
000404	0655	41.87	-36.8622	-72.9137	36.77	239	0.05
000404	0930	17.69	-37.2493	-71.8690	92.99	212	0.09
000404	1257	51.09	-37.9582	-73.6542	20.72	244	0.18
000405	0006	14.48	-36.5183	-72.9167	19.83	183	0.15
000405	0128	33.78	-37.7907	-73.2095	23.31	118	0.21
000405	0214	22.33	-36.9762	-73.2650	18.35	189	0.17
000405	0252	46.05	-37.8825	-73.3975	11.68	191	0.20
000405	1007	49.13	-36.7917	-73.2588	26.46	203	0.21
000405	2321	36.58	-36.8295	-73.0010	15.12	147	0.25
000407	0254	27.72	-36.4077	-72.9712	15.14	195	0.28
000407	0938	44.20	-37.1162	-72.3654	58.62	58	0.23
000407	1029	46.07	-36.8885	-73.4792	18.04	234	0.32
000407	1127	11.46	-36.6537	-72.9582	28.39	229	0.26
000407	1803	47.93	-37.9238	-73.4248	8.99	212	0.19
000407	2337	38.85	-37.7942	-73.0501	57.91	88	0.10
000408	0039	38.99	-36.0789	-72.5207	68.38	247	0.09
000408	0507	30.33	-37.9095	-72.2684	65.77	42	0.27
000408	0949	38.41	-36.9390	-73.4461	5.35	197	0.26
000408	1053	07.42	-36.9997	-73.4441	3.75	190	0.26
000409	0211	59.63	-36.3220	-72.9650	30.25	209	0.29

Fortsetzung auf nächster Seite

Origin Time			Latitude	Longitude	Depth	GAP	Residuum
yymmdd	hhmm	ss.ss	[°]	[°]	[km]	[°]	[s]
000409	0618	27.58	-36.9920	-72.2458	61.58	70	0.09
000409	0717	59.39	-36.4098	-72.9328	19.08	175	0.21
000409	1035	28.78	-36.3030	-72.7858	28.31	156	0.20
000409	1357	54.67	-38.0170	-72.3696	64.93	79	0.16
000410	0411	02.85	-36.6000	-71.6461	98.72	240	0.11
000410	0807	13.38	-37.2845	-72.3346	56.60	85	0.06
000411	0340	22.98	-37.2093	-73.4738	11.40	146	0.23
000411	0508	56.43	-37.8638	-73.3292	33.79	130	0.19
000411	1248	07.52	-37.7938	-72.1946	72.27	58	0.36
000411	1612	39.20	-36.8365	-73.0008	8.42	179	0.19
000411	2304	48.44	-37.7325	-73.4983	24.32	204	0.33
000412	0007	13.54	-36.4708	-72.8607	32.88	187	0.23
000412	0103	02.68	-38.4125	-72.9884	49.41	80	0.21
000412	0501	02.54	-37.7997	-73.1468	28.88	121	0.16
000412	0644	18.46	-36.9480	-73.4152	16.08	190	0.28
000412	1621	28.23	-37.9455	-72.5188	78.36	59	0.30
000413	0139	03.85	-36.9628	-73.4655	7.48	199	0.22
000413	0510	46.17	-36.3820	-72.8977	25.94	230	0.24
000413	1305	30.76	-37.4648	-71.8674	98.21	168	0.18
000414	1905	17.09	-36.9625	-73.4198	4.75	190	0.20
000414	1931	35.47	-36.8441	-73.2318	33.13	174	0.17
000415	0039	27.94	-36.9515	-73.4350	12.55	193	0.25
000415	0245	15.78	-36.6708	-73.3384	27.42	218	0.20
000415	0520	26.57	-35.9473	-71.5242	111.07	253	0.18
000415	0650	02.23	-36.6611	-73.3417	17.92	205	0.28
000415	0750	59.73	-37.1632	-73.3800	21.51	159	0.26
000415	0802	19.15	-36.6720	-73.3075	31.39	200	0.27
000415	1247	23.48	-37.5983	-71.9690	101.51	47	0.27

Tabelle B.1: Liste der vom ISSA 2000-Experiment aufgezeichneten und mit dem 1-D Geschwindigkeitsmodell lokalisierten Beben (440 Ereignisse)

Anhang C

Teilnehmerliste

Institution	Teilnehmer
Freie Universität Berlin	Arturo Belmonte, Florian Finck, Sebastian Hölz, Stefan Lüth, Jan Rindschwentner, Piet Röwer, Peter Wigger
GeoForschungsZentrum Potsdam	Günter Asch, Mirjam Bohm, Jörn Kummerow, Joachim Saul
Universidad Catolica del Norte (Chile)	Gerardo Aguilera, Jose Luis Cerda, Juan Oliva
Universidad de Concepcion (Chile)	Gonzalo Astroza H., Jorge Avila, Klaus Bataille, Alejandra Canales Q., Luka Caric, Ivonne Cartes, Eduardo Cavacho, Marcia Escobar Z., Sandra Jara, Geraldine Lacazette, Christian Leal, Rodrigo Mora, Luis Parra, Sandra Perez, Jorge Quezada, Marcelo
Universidad Nacional de Salta (Argentina)	Benjamin Heit
Universität Potsdam	Carsten Bruhn, Andreas Rietbrock, Daniel Vollmer
FUNVISIS (Venezuela)	Daniel Chalbaud

Tabelle C.1: Liste der Teilnehmer des Experimentes ISSA 2000

Anhang D

Veröffentlichungen

D.1 Papers

1. Bohm, M., Lüth, S., Echtler, H., Asch, G., Bataille, K., Bruhn, C., Rietbrock, A. and Wigger, P., *The Southern Andes between 36° and 40°S latitude: seismicity and average seismic velocities*. Tectonophysics, Volume 356, Issue 4, 24 October 2002, Pages 275-289.
2. Lüth, S., Wigger, P., Araneda, M., Asch, G., Bataille, K., Bohm, M., Bruhn, C., Giese, P., Quezada, J. and Rietbrock, A., *A crustal model along 39°S from a seismic refraction profile - ISSA 2000*. Revista Geologica de Chile, Vol. 30, No.1, July 2003, Pages 83-101.

D.2 Tagungsbeiträge

1. Bohm, M., Asch, G., Yuan, X., Bock, G., Kind, R., Haberland, C., Rietbrock, A. and ISSA working group, 2003. *The Southern Andes Between 36° and 40°S Latitude: A 3-D Image of the Lithospheric Structure Inferred From Local and Teleseismic Earthquake Data*. Abstract Volume, SFB267-Workshop, Pucon, Chile.
2. Echtler, H., Vietor, T., Götze, H.-J., Bohm, M., Asch, G., Lohrmann, J., Melnick, D., Tasarova, Z. and Ladage, S., 2003. *Active Tectonics and Neogene Evolution of South-Central Chile (36°S–42°S) - New Tectonophysical Insights*. Abstract Volume, SFB267-Workshop, Pucon, Chile.
3. Melnick, D., Echtler, H., Folguera, A., Bohm, M., Pineda, V., Manzanares, A. and Asch, G., 2003. *Quaternary Tectonics of the Andean Margin at 37°S*, Abstract Volume, SFB267-Workshop, Pucon, Chile.

4. Bohm, M., Asch, G., Haberland, C., Rietbrock, A. and ISSA working group, 2003. *The Southern Andes Between 36° and 40°S Latitude: A 3-D Image of the Lithospheric Structure Inferred From Local Earthquake Data*. Actas, 10th Chilean Geological Congress, Concepción, Chile.
5. Echtler, H., Vietor, T., Götze, H.-J., Bohm, M., Asch, G., Lohrmann, J., Melnick, D. and Tasarova, Z., 2003. *Active Tectonics Controlled by Inherited Structures in South-Central Chile (36°S–42°S) - new tectonophysical insights*. Actas, 10th Chilean Geological Congress, Concepción, Chile.
6. Melnick, D., Echtler, H., Pineda, V., Bohm, M., Manzanares, A. and Asch, G., 2003. *Active Faulting and Northward Growing of the Arauco Peninsula, Southern Chile (37°30'S)*. Actas, 10th Chilean Geological Congress, Concepción, Chile.
7. Folguera, A., Araujo, M., Ramos, V. A., Melnick, D., Hermanns, R., García Morabito, E. and Bohm, M., 2003. *Seismicity and Variations of the Crustal Tensional state of the Retro-arc in the Southern Central Andes During the last 5 Ma (37°30'-39°S)*. Actas, 10th Chilean Geological Congress, Concepción, Chile.
8. Bohm, M., Asch, G., Bataille, K., Rietbrock, A., 2003. *The Southern Andes Between 36° and 40°S Latitude: A Tomographic Image of the Lithospheric Structure Inferred From Local Earthquake Data*. Geophysical Research Abstracts, EGS, Nice, EAE03-A-10746.
9. Bohm, M., Asch, G., Bataille, K., Rietbrock, A., 2002. *The Southern Andes Between 36° and 40°S Latitude: A Tomographic Image of the Lithospheric Structure Inferred From Local Earthquake Data*. Eos Trans. AGU, 83(47), Fall Meet. Suppl.
10. Bohm, M., Asch, G., Bataille, K., Bruhn, C., Rietbrock, A. and ISSA working group, 2002. *The Southern Andes Between 36° and 40°S Latitude: A 3-D Image of the Lithospheric Structure Inferred From Local Earthquake Data*. 5th International Symposium on Andean Geodynamics (ISAG), Toulouse, France.
11. Bohm, M., Asch, G., Bataille, K., Bruhn, C., Rietbrock, A. and ISSA working group, 2002. *The Southern Andes Between 36° and 40°S Latitude: Seismicity and Average Velocities*. Annual meeting of the German Geophysical Society, DGG, Hannover, SOP41.
12. Bruhn, C., Asch, G., Bohm, M., Krüger, F., Rietbrock, A., Scherbaum, F., 2002. *Momententensoren lokaler Erdbeben in den südlichen chilenischen Anden (36°S bis 40°S)*. Annual meeting of the German Geophysical Society, DGG, Hannover, SOP42.

13. Bohm, M., Bruhn, C., Asch, G., Bataille, K., Rietbrock, A. and ISSA working group, 2001. *The Southern Andes Between 36° and 40°S Latitude: Seismicity and Average Velocities*. Eos Trans. AGU, 82(47), Fall Meet. Suppl.
14. Lüth, S., Asch, G., Bohm, M., Bruhn, C., Rietbrock, A. and Wigger, P., 2001. *The Seismic Structure of the South Chilean Margin Between the 36th and 40th Degree South From an Integrated Active and Passive Seismological Experiment*. Schriftenreihe der Deutschen Geologischen Gesellschaft, Heft 14, S. 127, Margins Meeting, Kiel.
15. Bohm, M., Asch, G., Bataille, K., Bruhn, C., Rietbrock, A., and ISSA working group, 2001. *ISSA 2000 - a Seismological Network in the Southern Andes*. Geophysical Research Abstracts, Poster SE6.01, EGS, GRA3, 585.
16. Asch, G., Bataille, K., Bock, G., Bohm, M., Bruhn, C., Flueh, E., Kind, R., Lüth, S., Quezada, J., Rietbrock, A., Scherbaum, F. and Wigger, P., 2001. *The ISSA 2000 passive seismological experiment*. Annual meeting of the German Geophysical Society, DGG, Frankfurt a. M., SOP29.
17. Lüth, S., Wigger, P., Asch, G., Bohm, M., Rietbrock, A. and Bruhn, C., 2001. *The Crustal Structure of the Southern Andes Based on 3-Component Refraction and Wide-Angle Seismic Data*. Annual meeting of the German Geophysical Society, DGG, Frankfurt a. M., SOP09.
18. Asch, G., Bataille, K., Bock, G., Bohm, M., Bruhn, C., Flüh, E., Kind, R., Lüth, S., Quezada, J., Rietbrock, A., Scherbaum, F., and Wigger, P., 2000. *The ISSA 2000 passive seismological experiment*. Eos Trans. AGU, 81(48), Fall Meet. Suppl.
19. Lüth, S., Wigger, P., Asch, G., Bohm, M., Bruhn, C., and Rietbrock, A., 2000. *The crustal structure of the Southern Andes based on 3-component refraction and wide-angle seismic data*. Eos Trans., 81(48), Fall Meet. Suppl.

Danksagung

Viele Menschen haben mit ihren Anregungen und ihrem Interesse zum Inhalt dieser Arbeit beigetragen. Besonders bedanken möchte ich mich bei....

... Günter Asch für die Begleitung und Betreuung dieser Arbeit.

... Rainer Kind für die Übernahme des Koreferats.

... Andreas Rietbrock für sein Interesse sowie seine überaus wertvollen und effektiven Anregungen.

... Bernd Schurr für die fachliche Einführung in die diversen Programme der lokalen Erdbebtomographie.

... Christian Haberland für sein stetes Interesse und seinen unerschöpflichen Wissens- und Zeitvorrat. Die Möglichkeit mit all meinen Fragen und Tomographie-Problemen zu ihm gehen zu können und immer eine offene Tür und eine Antwort vorzufinden, hat entscheidend dazubeigetragen, diese Arbeit zu beenden. Und nicht zu vergessen ein Dankeschön für die zur Verfügung gestellten Programme.

... allen Teilnehmern des ISSA 2000 Experimentes für ihr großes Engagement bei der Durchführung der Meßkampagne in Chile und Argentinien, durch das die vorliegende Arbeit erst möglich gemacht wurde. Und vor allem bei Klaus Bataille für die Unterstützung bei der Bewältigung diverser logistischer Schwierigkeiten in Chile.

... Jörn Kummerow, Joachim Saul, Stefan Lüth, Helmut Echtler, Zuzanna Tašárová, Holger Gaensicke, Klaus Bauer, Jo Lohrmann, Charlotte Krawczyk, Daniel Melnick und Kirsten Elger für zahlreiche Gespräche und Hinweise, bereichernde fachliche Diskussionen und nicht zuletzt für die gemeinsam verbrachte Zeit.

... bei allen derzeitigen und ehemaligen Mitarbeitern des Projektbereich 2.4, und insbesondere sehr herzlich bei Forough Sodoudi - *mā dar ālemān hič zelzelehi bozorg nadārim* - und Benjamin Heit, für die angenehme Arbeitsatmosphäre.

- Christian Haberland, Jörn Kummerow, Tobias Bohm, Helmut Echter und Paula Mrochen für das sorgfältige Korrekturlesen dieser Arbeit.
- dem SFB 267 “Deformationsprozesse in den Anden”, durch den diese Arbeit finanziert wurde und der mir ermöglicht hat, an zahlreichen Kongressen und Tagungen teilzunehmen.

Lebenslauf

Name: Mirjam Bohm
Geburtsdatum: 03.11.1972
Geburtsort: Potsdam

Schulbildung:

1979-1987 Polytechnische Oberschule, Berlin
1987-1991 Theresienschule (Erweiterte Oberschule), Berlin
06/1991 Abitur

Hochschulbildung:

1992-1999 Studium der Geophysik, Technische Universität Berlin
04/1998-04/1999 Diplomarbeit am Council for Geosciences, Pretoria, Südafrika
und an der TU Berlin
07/1999 Diplom in Geophysik

Berufstätigkeit:

09/1991-07/1992 Dining Hall Assistant, Madingley Hall, Cambridge, GB
01/1995-12/1999 Arzthelferin
01/2000-10/2003 Wissenschaftliche Mitarbeiterin am
GeoForschungsZentrum Potsdam